# 合金元素对 KT5331 叶片钢析出相 及高温持久性能的影响

## 王洪利12

(1.攀钢集团研究院有限公司特钢研究所 四川 攀枝花 617000; 2.海洋装备用金属材料及其应用国家重点实验室, 辽宁 鞍山 114009)

摘 要: 热力学软件及试验研究合金元素对 KT5331 钢析出相的影响。结果表明:  $M_{23}$   $C_6$  析出温度、析出量由 C 元素决定  $C_8$  积中  $C_8$   $C_$ 

关键词: KT5331 叶片钢; M23C6; Laves 相; 高温持久性能

中图分类号: TF76 ,TG115 文献标志码: A 文章编号: 1004-7638(2019) 03-0118-06

**DOI**: 10.7513/j.issn.1004-7638.2019.03.021 开放科学(资源服务)标识码(OSID):



听语音 聊科研

# Influence of Alloying Elements on the Precipitation Phase and High-temperature Endurance Property of Blade Steel KT5331

Wang Hongli<sup>1 2</sup>

(1.Special Steel Research Department of Pangang Group Research Institute Co. ,Ltd. ,Panzhihua 617000 ,Sichuan ,China; 2.State Key Laboratory of Metal Material for Marine Equipment and Application ,Anshan 114009 ,Liaoning ,China)

**Abstract**: The influence of alloying elements on equilibrium precipitation phases of KT5331 were studied by Factsage software and experiment. The results show that the amount of  $M_{23}C_6$  carbide is determined by C content in steel. The fluctuation of Cr  $\mathcal{M}$ o content in steel has effect on precipitation temperature of  $M_{23}$   $C_6$ . The amount of Laves phase is determined by the W content. Based on the influence of alloying elements on the precipitated phase the influence of alloying elements on the high-temperature endurance property of KT5331 steel was analyzed. The results showed that in order to achieve high temperature durability of KT5331 steel the C content should be reduced and the Cr and W elements are at the lower level and the Mo element content is at the middle or upper limit.

Key words: KT5331 M<sub>23</sub>C<sub>6</sub> Laves phase high-temperature endurance property

# 0 引言

KT5331 钢(10Cr11Co3W3NiMoVNbNB) 属马氏体型耐热钢 主要用于600 ℃级及以上超临界机组高温叶片等零部件的制造。该钢高温持久性能技术

要求为: 试验温度  $660 \, ^{\circ} \, ^{\circ}$ 

收稿日期: 2018-12-03

非平衡微观结构将随着位错密度的降低  $M_{23}C_6$  型碳化物的粗化和新的 Laves 相颗粒的析出而发生演变[1] 。析出相的这些演变将对钢的高温持久性能产生很大影响。

目前国内外对 KT5331 钢析出相析出机理的研究较多 ,但是针对析出相的析出 ,进行工业生产指导方面的研究很少 ,尤其缺乏合金元素对析出相析出规律影响的详细研究。

笔者以实际生产 KT5331 钢化学成分为典型成分 用 Factsage 热力学软件计算了元素含量波动对平

衡第二相析出规律影响 通过对不同元素含量试样的高温持久性能及析出相进行对比,分析合金元素对 KT5331 钢高温持久性能的影响及作用机理,为进一步提升高温持久性能奠定试验和理论基础。研究结果可为生产 KT5331 钢时,合金元素的优化控制、热处理工艺及热加工方案的制定提供理论依据。

### 1 材料与方法

KT5331 钢的元素含量要求范围及试验用钢的元素含量如表 1 所示。

表 1 KT5331 钢合金元素含量范围及试验用钢元素含量 Table 1 The contents of alloy elements in KT5331 steel

%

编号	С	Mn	Si	$\operatorname{Cr}$	Ni	Mo	$\mathbf{W}$	Co	V	Nb	В	N
技术要求	0.08 ~ 0.13	0.35 ~ 0.65	≤0.10	10.00 ~ 12.00	0.30~ 0.70	0.10~ 0.40	2.40~ 3.00	2.50~ 3.50	0.15 ~ 0.25	0.05 ~ 0.12	0.01 ~ 0.04	0.010~ 0.035
典型成分	0.11	0.462	0.075	10.33	0.602	0.253	2.70	3.03	0.203	0.10	0.01	0.014
1号样	0.16	0.52	0.07	10.25	0.66	0.33	2.41	3.19	0.21	0.09	0.01	0.019
2 号样	0.11	0.50	0.09	10.07	0.62	0.23	2.33	3.17	0.21	0.12	0.01	0.019
3 号样	0.11	0.43	0.05	10.00	0.62	0.25	2.25	3.16	0.20	0.11	0.01	0.019

试验所用 KT5331 钢为由电炉冶炼+电渣重熔进行冶炼 然后热锻成 Ø150 mm 圆棒。试样的调质热处理工艺为 1 100  $^{\circ}$  ×45 min 油淬 ,720  $^{\circ}$  ×90 min 空冷; 高温持久试验条件为: 温度 660  $^{\circ}$  ,应力 245 MPa。

首先以 KT5331 钢化学成分含量(如表 1 所示) 计算 KT5331 钢中主要析出相元素组成及关键合金元素 C、Cr、W、Mo 对析出相的影响。然后对三组试样进行标准调质热处理 进行 660 ℃、245 MPa高温持久试验;再利用光学显微镜、扫描电镜(SEM)对析出相进行形貌观察及成分分析,验证模拟计算结果的准确性。

## 2 结果与分析

#### 2.1 主要析出相元素组成

析出相的合金元素组成是研究合金元素对析出 相影响的重要依据。

表 2 为典型成分的 KT5331 钢主要平衡第二相的元素组成。 $M_{23}C_6$  主要由 Cr、Fe 元素及少量 Mo、W 元素组成; Laves 相主要由 W、Fe 元素及少量 Cr、Mo 元素组成。

#### 2.2 合金成分对第二相析出的影响

以表 1 所示的典型成分为基础 ,计算  $C \times Cr \times W \times Mo$  元素含量波动对  $M_{23}C_6$  及 Laves 相的影响。

表 2 KT5331 钢在 720、660 ℃主要析出相元素组成 Table 2 The composition of precipitations at 720 ℃ and 660 ℃ in KT5331 steel

析出相	温度/℃ -	合金元素含量/%					
们山伯		$\operatorname{Cr}$	$\mathbf{W}$	Fe	Mo		
M. C	720	57	6	21	10		
$M_{23}C_6$	660	60	5	17	11		
Laves	720	6	61	31	0.6		
	660	7	61	31	0.4		

KT5331 钢中的 C 含量低 C 元素是  $M_{23}C_6$  形核 析出的必须元素  $M_{23}C_6$  开始析

出温度及总的析出量都有显著影响。由表 2 可知, $M_{23}C_6$  的合金元素主要是  $Cr_*Mo_*W$  而钢中的  $Cr_*W$  含量相对 C 含量很高 ,所以  $Cr_*W$  含量波动对  $M_{23}$   $C_6$  形核析出几乎无影响。  $M_{23}C_6$  开始形核析出时,钢中 Mo 含量对 Mo 在  $M_{23}C_6$  中的组成的影响如表 3

所示。从表 3 看出 相对于  $M_{23}C_6$  形核析出对  $M_0$  元素的需求量 ,KT5331 钢中的  $M_0$  元素含量偏低 ,当 钢中  $M_0$  含量增加 , $M_{23}C_6$  中的  $M_0$  元素含量增加。 所以钢中  $M_0$  含量波动对  $M_{23}C_6$  开始析出温度有较大影响 ,对  $M_{23}C_6$  总的析出量影响很小。

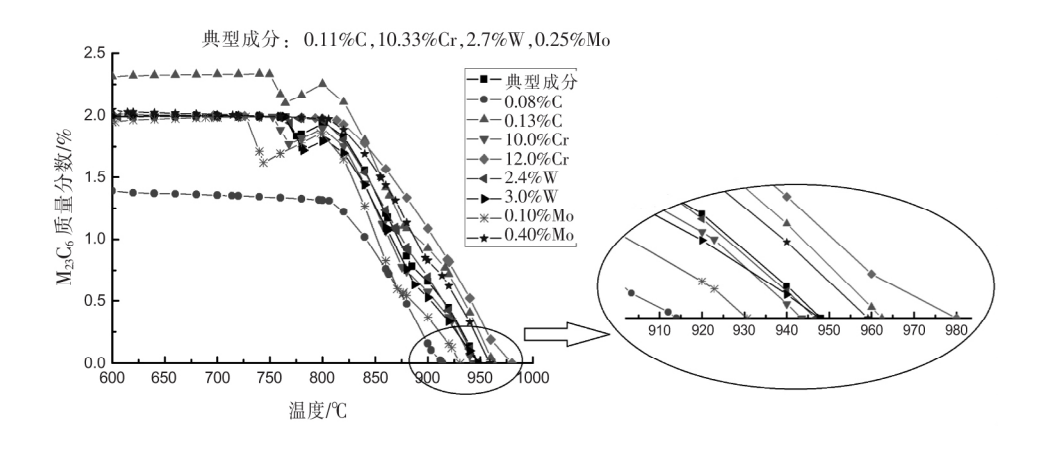


图 1 元素波动对 M<sub>23</sub>C<sub>6</sub> 析出的影响

Fig.1 Effect of C/Cr/W/Mo on the precipitation of M<sub>23</sub>C<sub>6</sub>

表 3 钢中 Mo 含量对析出相(开始形核时)中 Mo 含量的影响 Table 3 The content of Mo in phases when the precipitated phase begins to nucleate %

  中 Mo  素含量	M <sub>23</sub> C <sub>6</sub> 的 Mo 元素含量	Laves 相的 Mo 元素含量
 0.10	5.9	0.24
0.25	9.0	0.91
0.40	11.2	1.87

图 2 为 C/Cr/W/Mo 含量波动对 Laves 相析出的影响。从图 2 看出 ,600 ~ 660  $\,^\circ$ C 时 ,Laves 相析出量主要受钢中 W 含量波动的影响 ,Mo、C 含量波动对 Laves 相析出量有一定影响 ,Cr 含量波动对  $M_{23}C_6$  析出量几乎无影响。当 W 含量增加0.60% ,600  $\,^\circ$ C 时的 Laves 相析出量增加 0.98%; 当 Mo 含量增加 0.30% ,600  $\,^\circ$ C 时的 Laves 相析出量增加 0.28%; 当 C 含量增加0.05% ,600  $\,^\circ$ C 时的 Laves 析出量減少  $\,^\circ$ 0.18%。

Laves 相主要由 W 元素组成,所以钢中的 W 元素含量波动对 Laves 相析出量起主导作用。Isik 等<sup>[2]</sup>对 12Cr-1Mo 钢中 Laves 相分析研究说明回火马氏体铁素体钢中 Mo 元素含量低于 1%,相对 Laves 中 Mo 元素组成偏低;从表 3 也可以看出,钢中 Mo 元素含量增加,Laves 相中 Mo 元素含量显著增加 相对于 Laves 相对 Mo 元素的需求量,KT5331钢中的 Mo 元素含量偏低,当钢中 Mo 含量增加,

Laves 相中的 Mo 元素含量增加。所以钢中 Mo 含量波动对 Laves 相析出量有一定影响。钢中 C 含量增加  $M_{23}$  C<sub>6</sub> 析出量增加 ,钢中固溶的 W 元素有一定程度减少 ,从而导致 Laves 相析出量有一定减少。 Laves 相含有约 6%的 Cr 元素 ,但是由于 KT5331 是高 Cr 钢 ,钢中的 Cr 元素充足 ,所以 Cr 元素含量的波动对 Laves 相析出量几乎无影响。

图 3 为热力学计算得到的表 1 所述试样  $M_{23}C_6$  及 Laves 相的析出情况。

从图 3(a) 看出: 1 号样的  $M_{23}C_6$  析出量显著高于  $2 \cdot 3$  号样; 2 号样与 3 号样  $M_{23}C_6$  析出量相近。从图 3(b) 看出: 1 号样与 2 号样 Laves 相析出量相近; 3 号样的 Laves 相析出量较  $1 \cdot 2$  号样稍少。高温持久温度( 660 °C) 时,各试样  $M_{23}C_6$  及 Laves 相析出量如表 4 所示。

图 4 为表 1 所述三组试样经过标准热处理后进行  $660 \% \times 245 \text{ MPa}$  高温持久断裂后析出相的形貌。

从图 4 可以看出 ,1 号样的析出量较 2、3 号样的析出相多 ,且聚集程度明显较 2、3 号样高。2、3 号析出相数量相近 ,但 2 号样析出相聚集程度较 3 号样的析出相高 ,这与图 3、表 4 热力学计算结果一致。且经能谱确认 ,高温持久断裂后试样中的上述呈链状分布的析出相主要是  $M_{23}C_6$  和 Laves 相。

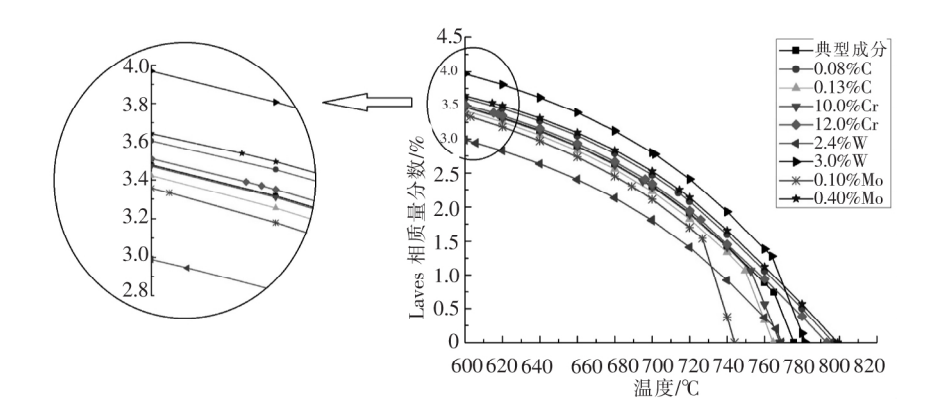


图 2 元素波动对 Laves 相析出的影响 Fig.2 Effect of C/Cr/W/Mo on the precipitation of Laves

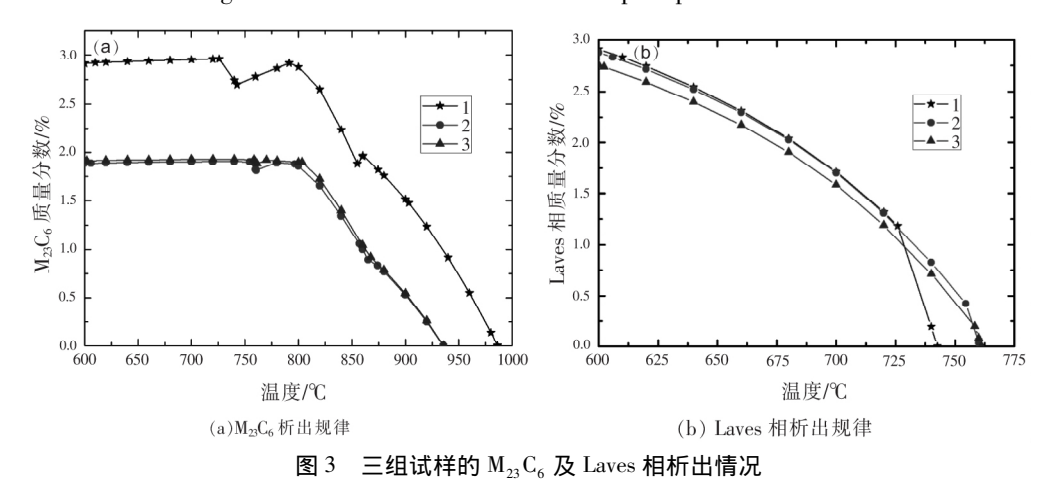


Fig.3 The precipitation of  $M_{23}C_6$  and Laves in KT5331 steels

图 5(a)、(b) 为 KT5331 钢经过标准调质热处理后的析出相形貌 ,可以看出析出相大部分为  $1\sim2~\mu m$  的颗粒 ,大部分沿原奥氏体晶界和马氏体板条块和板条分布 ,部分聚集成链状。从析出相能谱成分分析看出 析出相为  $M_{23}C_6$  和 Laves 相共存在一起。

从表 2 计算的  $M_{23}$   $C_6$  及 Laves 相元素组成看出  $M_{23}$   $C_6$  以 Cr 元素为主 ,含 W 元素很少; Laves 相

以 W 元素为主 ,含很少的 Cr 元素; 而 KT5331 钢中含有高的 Cr 元素和 W 元素。

表 4 660 ℃时三组试样  $M_{23}C_6$  及 Laves 相析出量 Table 4 The amount of  $M_{23}C_6$  and Laves at 660  $^{\circ}$ C  $^{\circ}$ 

试样编号	M <sub>23</sub> C6	Laves 相
1号	2.94	2.31
2 号	1.90	2.30
3 号	1.92	2.17

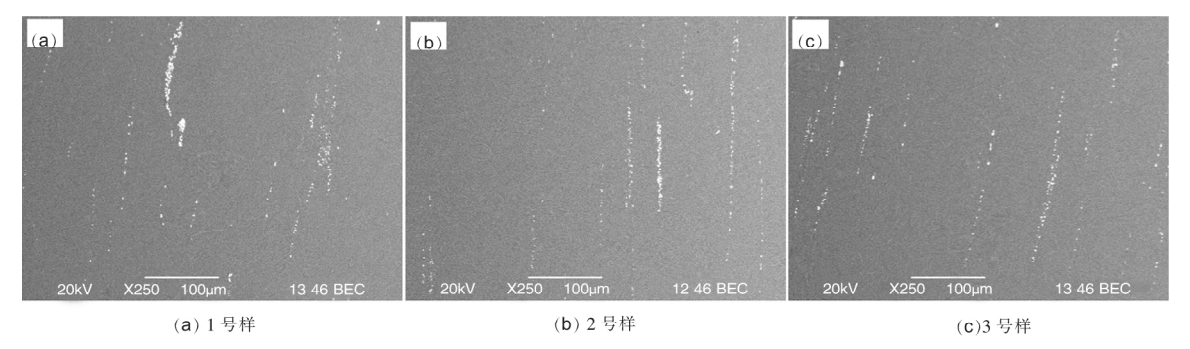


图 4 三组试样高温持久断裂后的典型析出相形貌

Fig.4 The morphology of precipitation at 660 °C 245 MPa for more than 50 h

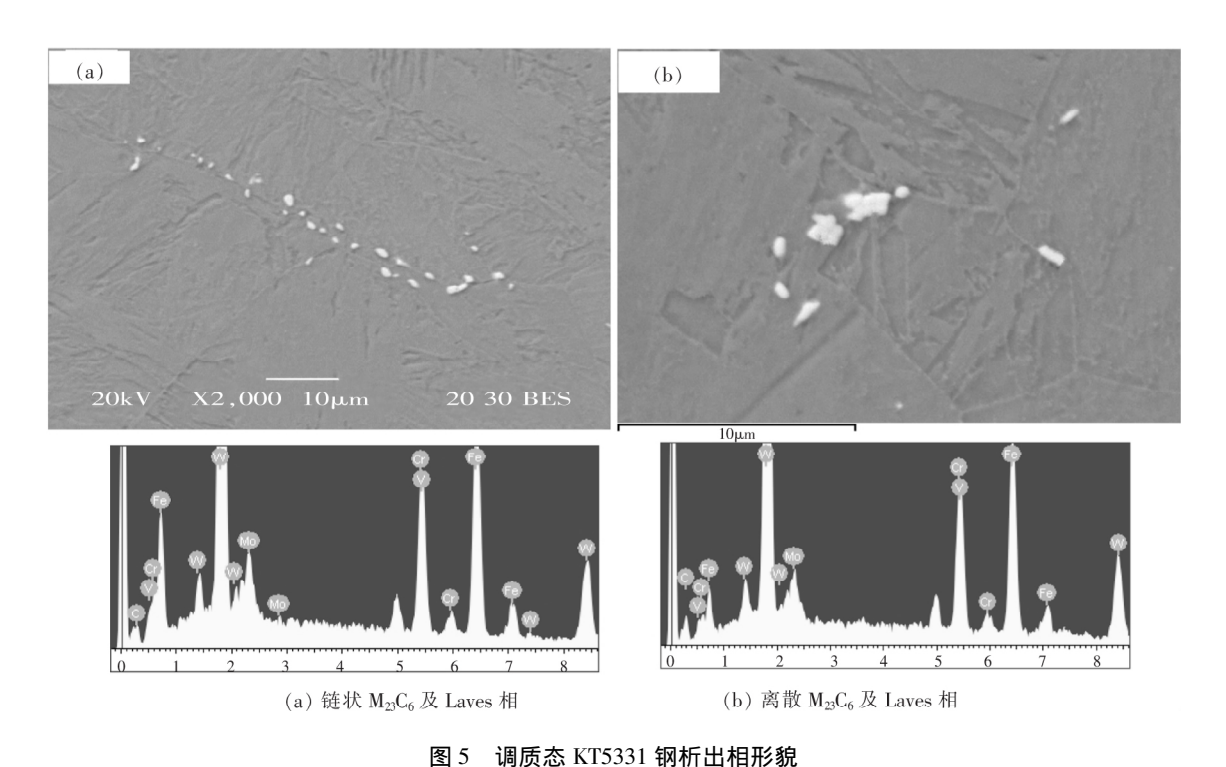


Fig. 5 The morphology of precipitation phase in KT5331 steel at tempered state

#### 2.3 合金成分对高温持久性能的影响

表 1 所述三组试样经过标准热处理 ,进行 660  $^{\circ}$  、245 MPa 高温持久试验 得到的高温持久性能依次为  $1^{\#}$  样: 56.13 h  $2^{\#}$  样 71.05 h  $3^{\#}$  样则  $\geq$  101 h。

经过上述对高温持久断裂试样的析出相分析,可以看出 1<sup>#</sup>样存在大量聚集呈链状的析出相,其高温持久性能明显低于其他 2 个试样; 3 号样的链状析出相少,其高温持久性能高。KT5331 钢析出相数量少、分布越弥散,高温持久性能越高。

高温蠕变断裂过程分析<sup>[4-5]</sup>: 蠕变断裂主要是沿晶断裂 在裂纹成核和扩展过程中 晶界滑动引起的应力集中与空位的扩散起着重要作用。在较低应力和较高温度下 蠕变裂纹常分散在晶界各处 特别易产生在垂直于拉应力方向的晶界上。这种裂纹成核的过程为: 首先由于晶界滑动在晶界的台阶(如第二相质点析出相 M<sub>23</sub>C<sub>6</sub>, Laves 相或夹杂) 处受阻

而形成空洞。其次由于位错运动和交割产生的大量空位,为了减少其表面能都能向拉伸应力作用的晶界上迁移,当晶界上有空洞时,空洞便吸收空位而长大形成裂纹。根据 Orowan 应力公式<sup>[6]</sup>,析出相的大小在提供抗蠕变性方面起着重要作用:

$$\sigma_{\text{Orowan}} = 3.32 \frac{Gb\sqrt{f_p}}{d_p}$$

其中 G 是剪切模量 D 是柏氏矢量  $f_p$  是析出相体积分数  $A_p$  是析出相平均直径。因此 ,沿原奥氏体晶界、马氏体相界分布的聚集或粗大析出相在高温持久过程中 ,会率先成为裂纹的形成源 ,造成高温持久断裂。

高温持久过程中 ,沿晶界、相界分布的  $M_{23}C_6$  逐渐粗化 ,也会与其钉轧作用相抵消 ,弱化这些边界 ,降低钢的高温持久性能 $^{[7]}$ 。

尽管在回火态 Laves 相粒子固定在晶界处 ,但随着高温持久蠕变的进行 ,它们的快速粗化很快就会消除钉扎效应 ,弱化晶界。因此 ,Laves 相在高温持久过程中会导致脆化 ,降低高温持久性能  $^{[8-9]}$ 。由于 Laves 相主要在回火时析出较少 ,所以 Laves 相的开始析出温度对  $660~^{\circ}$  高温持久蠕变过程中Laves 相颗粒尺寸的影响可以忽略。但是 Laves 相在高温持久过程中的粗化速率比  $M_{33}$   $C_{6}$  粗化速率

快,所以Laves 相的平衡析出量对高温持久性能影响很大<sup>[3,6-7,10]</sup>。

### 3 结论

1) KT5331 钢的 C 元素对  $M_{23}C_6$  析出量及析出温度起决定作用 ,C 含量偏高 , $M_{23}C_6$  析出量增加、析出温度提高 ,Cr 元素含量过高 , $M_{23}C_6$  析出温度提高 将显著降低高温持久性能。

- 2) 适当降低 KT5331 钢的 W 元素含量 ,显著降低高温持久过程中 Laves 析出量; 适当降低 Mo 元素含量 , $M_{23}$   $C_6$  析出温度显著降低、初始尺寸减小 ,Laves 相析出量有一定减少 ,对 KT5331 钢高温持久性能有利。
- 3) 经验证表明 ,热力学计算分析合金元素含量 波动对 KT5331 钢析出相及高温持久性能的结果与工业生产吻合度高。

#### 参考文献

- [1] Aghajani A Richter F Somsen C.On the formation and growth of Mo-rich Laves phase particles during long-term creep of a 12% chromium tempered martensite ferritic steel [J].Scr.Mater. 2009 61: 1068-1071.
- [2] Isik M I Kostka A Eggeler G.On the nucleation of laves phase particles during high-temperature exposure and creep of tempered martensite ferritic steels [J]. Acta Mater. 2014 81: 230-240.
- [3] Zhang X Z ,Wu X J ,Liu R *et al*. Influence of laves phase on creep strength of modified 9Cr-1Mo steel [J]. Materials Science & Engineering A 2017 ,706: 279-286.
- [4] Kassner M E.Fundamentals of creep in metals and alloys [M]. Elsevier (Singapore) Pte Ltd. 2015: 238-259.
- [5] Sun Maocai.Metal mechanical properties [M].Harbin: Harbin Institute of Technology Press 2005: 203-205 236-240. (孙茂才.金属力学性能[M].哈尔滨:哈尔滨工业大学出版社 2005: 203-205 236-240.)
- [6] Danielsen H K Somers M A J Hald J.Z-phase in 9%~12% Cr steels [M]. Technical University of Denmark ,Kgs. Lyngby ,Denmark 2007.
- [7] Maryama Kouichi Sawada Kota ,Koike Jun\_ichi.Strengthening mechanisms of creep resistant martensitic steel [J].ISIJ International 2001 A1(6):641.
- [8] Klueh R L.Elevated temperature ferritic and martensitic steels and their application to future nuclear reactors [J].Int.Mater.Rev., 2005 50: 287-310.
- [9] Spigarelli S.Microstructure-based assessment of creep rupture strength in 9Cr steels [J].Int.J.Press.Vessel.Pip.2013 ,101: 64-71.
- [10] Fedoseeva1A Dudova1 N Kaibyshev R.Creep behavior and microstructure of a 9Cr-3Co-3W martensitic steel [J].J Mater Sci , 2017 52: 2974-2988.

编辑 杨冬梅

# 2019 中国钒业论坛将于 8 月 8 日在攀枝花举行

攀枝花钒钛交易中心是经四川省人民政府金融工作局批准 在攀枝花市委、市政府支持下,由天府商品交易所联合钢铁、钒钛等龙头企业共同组建的钒钛产品专业交易平台。本着服务企业和助力产业发展的宗旨,定于 2019 年 8 月 8 日在攀枝花金海名都大酒店举办"2019 中国钒业论坛"。

论坛主旨服务产业、聚焦市场、创新应用、合作共赢。

论坛亮点

企业)

- 2018 年以来钒市场分析及 2019 年下半年市场前瞻
- 中国钢铁行业发展前景及对钒产业的影响
- 螺纹钢新标准推行现状及对市场的影响
- 钒产业生产工艺现状及发展趋势
- 铌铁的全球供应格局及应用
- 提钒技术进展与展望钒氮合金生产技术应用
- •论坛分为主论坛(上午)和分论坛(下午)分论坛:钒市论道分论坛(钒企+钢企+贸易商)、技术交流分论坛(科研机构+

本次论坛国内外业内同仁、专家齐聚一堂 共同探讨行业热点、交流技术难点、解读国家政策、研议市场趋势 共筑发展之路。 联系人:

向方念 15281234787(同微信) 胡 欣 13684265591(同微信)